



AB 1571



SOLDI s.c. Robert Kłosek, Leszek Duda
ul. Bieżanowska 22
30-812 Kraków

Sprawozdanie nr 167/2022/OS/13

Sprawozdanie z badania natężenia pól elektromagnetycznych
wykonanych w środowisku

Miejsce wykonania badania:

(dane uzyskane od klienta)

RTON KOSZALIN G. CHEŁMSKA

ul. Słupska 14, 75-438 Koszalin
pow. Koszalin
woj. zachodniopomorskie

Data wydania sprawozdania:

15.06.2022 r.

Data zakończenia badania:

15.06.2022 r.

Klient:

Emitel S.A.

ul. Klimczaka 1
02-797 Warszawa

Bez pisemnej zgody laboratorium, sprawozdanie nie może być powielane inaczej, jak tylko w całości.

1. Podstawa prawna

Badania wykonano zgodnie z obecnie występującymi aktami prawnymi:

- Ustawa z dnia 27 kwietnia 2001r. Prawo ochrony środowiska. (Tekst jednolity: Dz. U. 2021 poz. 1973 z zm.).
- Rozporządzenie Ministra Zdrowia z dnia 17 grudnia 2019r. w sprawie dopuszczalnych poziomów pól elektromagnetycznych w środowisku. (Dz. U. 2019 poz. 2448)
- Rozporządzenie Ministra Klimatu z dnia 17 lutego 2020r. w sprawie sposobów sprawdzania dotrzymania dopuszczalnych poziomów pól elektromagnetycznych w środowisku. (Dz. U. 2020 poz. 258)

2. Aparatura pomiarowa

Podczas badań użyto następującej aparatury pomiarowej:

Tabela nr 1

| Miernik szerokopasmowy | Sondy | Zakres częstotliwościowy | Zakres pomiarowy | Świadectwo wzorcowania |
|---------------------------------|---------------------|--------------------------|------------------|---|
| Narda NBM - 550 Nr B-0714 | EF0392 nr G-0072 | 0,1 – 3 600MHz | 0,8-1000 V/m | LWiMP/W/345/20; data wydania: 18.12.2020 |
| Narda NBM - 550 Nr B-0714 | EF6091 nr 01096 | 80 – 90 000MHz | 0,8-300 V/m | LWiMP/W/345/20; data wydania: 18.12.2020 |

Aparaturę pomiarową charakteryzują następujące wartości niepewności pomiaru obliczone i przedstawiona zgodnie z dokumentem EA 4/16. Podane wartości niepewności stanowią niepewności rozszerzone dla poziomu ufności 95% i współczynnika rozszerzenia $k=2$

Niepewność pomiarowa wyznaczona dla zainstalowanych i skonfigurowanych obiektów – źródeł pól, jak w dniu pomiaru wynosi 35%.

Dodatkowa aparatura pomiarowa:

- Kompas (busola) [UP/30/Sw]
- Termohigrometr TFA nr 4433
(Świadectwo Wzorcowania: 0197/AH/21; data wydania: 12.02.2021)
- Taśma Miernicza Geodezyjna 50 m
(Świadectwo Wzorcowania: U/21/51-512120028.3; data wydania: 10.03.2021)
- Odbiornik GPS XIAOMI MI 9 SE

3. Współpraca z klientem

Działanie Laboratorium służy zawsze rozwiązywaniu problemów i spełnianiu wymagań klienta.

Laboratorium zobowiązuje się do przestrzegania warunków określonych przez klienta, dotyczących bezstronności i poufności badań a także ochrony jego praw, jeżeli nie jest to sprzeczne z obowiązującym prawem.

Klient ma możliwość złożenia skargi w terminie 14 dni, licząc od daty przyjęcia sprawozdania.

4. Opis badania

Badanie przeprowadziło Laboratorium Badawcze Soldi na podstawie zlecenia firmy Emitel S.A.

Badanie wykonano zgodnie z:

Załącznik do Rozporządzenia Ministra Klimatu z dnia 17 lutego 2020 r. w sprawie sposobów sprawdzania dotrzymania dopuszczalnych poziomów pól elektromagnetycznych w środowisku. (Dz. U. 2020 poz. 258)

Badania promieniowania elektromagnetycznego, którego źródłem są urządzenia wyszczególnione w pkt. 5 przeprowadzono w pionach pomiarowych w szczególności w tych miejscach, w których na podstawie uprzednio przeprowadzonych obliczeń, stwierdzono występowanie w danych zakresach częstotliwości pól elektromagnetycznych o najwyższych spodziewanych poziomach. Badania pól elektromagnetycznych przeprowadzono w pionach pomiarowych wzdłuż głównych kierunków pomiarowych, dodatkowych pionach oraz w miejscach dostępnych dla ludności w otoczeniu instalacji. W przyjętych pionach pomiarowych pomiary wykonano na wysokościach od 0,3 m do 2,0 m nad powierzchnią terenu albo nad innymi miejscami dostępnymi dla ludności. W pobliżu urządzeń, obiektów i elementów metalowych pomiary wykonano w odległości nie mniejszej niż 0,3 m od tych urządzeń, obiektów i elementów metalowych.

Za wynik pomiaru wpisany w Tabeli nr 6 kolumnie 8 niniejszego sprawozdania, uznaje się wartość wyznaczoną jako iloczyn maksymalnej chwilowej wartości zmierzonej i poprawki pomiarowej, powiększoną o rozszerzoną niepewność pomiaru U dla współczynnika rozszerzenia $k=2$.

5. Informacje przekazane przez klienta

Tabela Nr 2 – Informacje o zleceniu

Tabela Nr 3 – Informacje o obiekcie

Tabela Nr 4 – Dane techniczne źródła pól

Tabela Nr 2

| ZLECENIE | |
|---|---|
| Zleceniodawca pomiarów: | Emitel S.A. z siedzibą w Warszawie przy ul. F. Klimczaka 1 |
| Zlecenie: | Zamówienie nr 31973 z dnia 04.05.2022 roku |
| Osoba udzielająca informacji do sprawozdania: | Przedstawiciel zleceniodawcy Pani Marta Głuch - Koordynator wiodący |

Tabela Nr 3

| OBIEKT | |
|------------------------------|--|
| Właściciel: | Emitel S.A. |
| Nazwa: | RTON KOSZALIN G. CHEŁMSKA |
| Rodzaj instalacji: | Radiowo-Telewizyjny Ośrodek Nadawczy |
| Adres: | ul. Słupska 14, 75-438 Koszalin |
| Współrzędne geograficzne: | 54°12'13.41"N 16°13'33.82"E |
| Charakterystyka otoczenia: | Obiekt zlokalizowany jest na terenie wiejskim. W najbliższym otoczeniu obiektu znajduje się las. |
| Wysokość posadowienia wieży: | 103,0 m n.p.m. |
| Wysokość wieży: | 87,0 m n.p.t. |

Tabela Nr 4

| URZĄDZENIA EMITEL | | | | | |
|-----------------------------------|------------------------------------|--|--|--|---|
| | | 1 | 2 | 3 | 4 |
| Urządzenie Obciążenie (antena) | Nr źródła | 1 | 2 | 3 | 4 |
| | Użytkownik | Emitel S.A. | Emitel S.A. | Emitel S.A. | Emitel S.A. |
| | Typ nadajnika | Linia Radiowa | Linia Radiowa | Linia Radiowa | Linia Radiowa |
| | Częstotliwość znamionowa | 23 GHz | 38 GHz | 38 GHz | 38 GHz |
| | Moc wyjściowa rzeczywista | Brak danych | Brak danych | Brak danych | Brak danych |
| | Wysokość zainstalowania [m n.p.t.] | 30,0 | 40,0 | 45,0 | 45,0 |
| | Typ anteny | VHLP1-32-1 | VHLP1-38-NC3 | VHLP1-38 | VHLP1-38-NC3 |
| | Konfiguracja | 1 x 1 | 1 x 1 | 1 x 1 | 1 x 1 |
| | Moc promieniowania (ERP) | Brak danych | Brak danych | Brak danych | Brak danych |
| | Charakterystyka promieniowania | Kierunkowa | Kierunkowa | Kierunkowa | Kierunkowa |
| | Azymut [°] | 204.4 k. OOM Koszalin/ ul. Paderewskiego 2 | 216 k. OOM Koszalin ul. 4 Marca 39 | 237.9 k. OM Koszalin ul. Piłsudskiego 41 | 291.1 k. OOM Koszalin ul. Holenderska |
| | Producent | Andrew Corp. | Andrew Corp. | Andrew Corp. | Andrew Corp. |

Tabela Nr 4 c.d.

| URZĄDZENIA EMITEL | | | | | |
|-----------------------------------|------------------------------------|---|--|---|--|
| Urządzenie Obciążenie (antena) | Nr źródła | 5 | 6 | 7 | 8 |
| | Użytkownik | Emitel S.A. | Emitel S.A. | Emitel S.A. | Emitel S.A. |
| | Typ nadajnika | Linia Radiowa | Linia Radiowa | Linia Radiowa | Linia Radiowa |
| | Częstotliwość znamionowa | 38 GHz | 6,0 GHz | 38 GHz | 38 GHz |
| | Moc wyjściowa rzeczywista | Brak danych | Brak danych | Brak danych | Brak danych |
| | Wysokość zainstalowania [m n.p.t.] | 45,0 | 50,0 | 60,0 | 60,0 |
| | Typ anteny | VHLP1-38-NC3 | HPX8-65-D4M | VHLP1-38-NC3 | VHLP1-38-NC3(B) |
| | Konfiguracja | 1 x 1 | 1 x 1 | 1 x 1 | 1 x 1 |
| | Moc promieniowania (ERP) | Brak danych | Brak danych | Brak danych | Brak danych |
| | Charakterystyka promieniowania | Kierunkowa | Kierunkowa | Kierunkowa | Kierunkowa |
| | Azymut [°] | 240.9 k. OOM Koszalin ul. Domina 1 | 261 k. OM Stramnica ul. Białogardzka | 64.5 k. OOM Sianów ul. Słowackiego 30 | 232.1 k. OOM Koszalin ul. Słowiańska 2 |
| | Producent | Andrew Corp. | Andrew Corp. | Andrew Corp. | Andrew Corp. |
| Urządzenie Obciążenie (antena) | Nr źródła | 9 | 10 | | |
| | Użytkownik | Emitel S.A. | Emitel S.A. | | |
| | Typ nadajnika | Linia Radiowa | Linia Radiowa | | |
| | Częstotliwość znamionowa | 18 GHz | 23 GHz | | |
| | Moc wyjściowa rzeczywista | Brak danych | Brak danych | | |
| | Wysokość zainstalowania [m n.p.t.] | 60,0 | 63,0 | | |
| | Typ anteny | VHLP1-18-NC3 | VHLP2-23-NC3 | | |
| | Konfiguracja | 1 x 1 | 1 x 1 | | |
| | Moc promieniowania (ERP) | Brak danych | Brak danych | | |
| | Charakterystyka promieniowania | Kierunkowa | Kierunkowa | | |
| | Azymut [°] | 307.1 k. OM Unieście ul. Chełmońskiego 10 | 318.8 k. OOM Mielno ul. Maczka 34 | | |
| | Producent | NEC | Andrew Corp. | | |

Tabela Nr 4 c.d.

| URZĄDZENIA EMITEL – RADIODYFUZJA | | | | | |
|-----------------------------------|---------------------------------------|-------------------------|-----------------------------|-----------------------------|-----------------------------|
| Urządzenie Obciążenie (antena) | Nr źródła | 11 | 12 | 13 | 14 |
| | Użytkownik | RMF FM | RMF MAXXX Pomorze | Radio Koszalin | DVB-T MUX 3 |
| | Typ nadajnika | SR 8025 | EXC 300 GT | EXC 120 GT | TMU9 |
| | Częstotliwość znamionowa | 104,9 MHz | 99,7 MHz | 97,8 MHz | 610 MHz |
| | Moc wyjściowa rzeczywista | 0,2 kW | 0,18 kW | 0,017 kW | 0,944 kW |
| | Wysokość zainstalowania [m n.p.t.] | 46,0 | 66,0 | 66,0 | 75,8 |
| | Typ anteny | AT12-522 | K 762 943 | K 762 943 | AT15-802 |
| | Konfiguracja | 4 x 1 | 4 x 1 | 4 x 1 | 1 x 1 |
| | Moc promieniowania (ERP) | 1,0 kW | 1,0 kW | 0,1 kW | 3,5 kW |
| | Charakterystyka promieniowania | Kierunkowa | Kierunkowa | Kierunkowa | Dookólna |
| | Azymut [°] | 280 | 246 | 246 | 0 |
| | Producent | RYMSA | Kathrein | Kathrein | RYMSA |
| Urządzenie Obciążenie (antena) | Nr źródła | 15 | 16 | 17 | 18 |
| | Użytkownik | Antyradio | MUX R3 | Radio ZET | PR24 |
| | Typ nadajnika | EXC 100 GX | TMV9 | EXC 600 GX | EXC 250 GT |
| | Częstotliwość znamionowa | 106,9 MHz | 218,64 MHz | 88,7 MHz | 92,8 MHz |
| | Moc wyjściowa rzeczywista | 0,08 kW | 1,33 kW | 0,5 kW | 0,15 kW |
| | Wysokość zainstalowania [m n.p.t.] | 76,0 | 80,0 | 87,0 | 87,0 |
| | Typ anteny | ADB 4130 | K 52 30 57 | K 752 826 | K 752 826 |
| | Konfiguracja | 1 x 1 + 1 x 1 | 3 x 4 | 1 x 1 | 1 x 1 |
| | Moc promieniowania (ERP) | 0,1 kW | 3,2 kW | 1,0 kW | 0,3 kW |
| | Charakterystyka promieniowania | Kierunkowa | Dookólna | Dookólna | Dookólna |
| | Azymut [°] | 180; 280 | 19; 109; 199; 289 | - | - |
| | Producent | TESLA | Kathrein | Kathrein | Kathrein |
| URZĄDZENIA INNYCH OPERATORÓW | | | | | |
| Urządzenie Obciążenie (antena) | Nr źródła | 19 | 20 | 21 | 22 |
| | Użytkownik | ENERGA Operator S.A. | Orange Polska S.A. - PTK | Orange Polska S.A. - PTK | Orange Polska S.A. - PTK |
| | Typ nadajnika | Antena Sektorowa | Linia Radiowa | Linia Radiowa | Linia Radiowa |
| | Częstotliwość znamionowa | Brak danych | 15 GHz | Brak danych | 23 GHz |
| | Moc wyjściowa rzeczywista | Brak danych | Brak danych | Brak danych | Brak danych |
| | Wysokość zainstalowania [m n.p.t.] | 37,0 | 41,0 | 41,0 | 42,0 |
| | Typ anteny | 504 30 10 | VHLP2-15 | LBE-5AC-Gen2 | VHLPX2-23 |
| | Konfiguracja | 1 x 3 | 1 x 1 | 1 x 1 | 1 x 1 |
| | Moc promieniowania (ERP) | Brak danych | Brak danych | Brak danych | Brak danych |
| | Charakterystyka promieniowania | Kierunkowa | Kierunkowa | Kierunkowa | Kierunkowa |
| | Azymut [°] | 45; 145; 255 | 237 | 216 | 237 |
| | Producent | TETRA | Andrew Corp. | Ubiquiti Networks | Andrew Corp. |

Tabela Nr 4 c.d.

| URZĄDZENIA INNYCH OPERATORÓW | | | | | |
|-----------------------------------|------------------------------------|---|--------------------------|-------------------------------|--------------------------|
| Urządzenie Obciążenie (antena) | Nr źródła | 23 | 24 | 25 | 26 |
| | Użytkownik | ESPOL Sp. z o.o. | P4 Sp. z o.o. | P4 Sp. z o.o. | ESPOL Sp. z o.o. |
| | Typ nadajnika | Antena Sektorowa | Linia Radiowa | Antena Sektorowa | Antena |
| | Częstotliwość znamionowa | Brak danych | 80 GHz | Brak danych | Brak danych |
| | Moc wyjściowa rzeczywista | Brak danych | Brak danych | Brak danych | Brak danych |
| | Wysokość zainstalowania [m n.p.t.] | 52,0 | 57,5 | 59,35 | 62,0 |
| | Typ anteny | Brak danych | VHLP1-80-HW2 | AQU4518R5 | Brak danych |
| | Konfiguracja | 1 x 2 | 1 x 1 | 1 x 2 | 1 x 1 |
| | Moc promieniowania (ERP) | Brak danych | Brak danych | Brak danych | Brak danych |
| | Charakterystyka promieniowania | Kierunkowa | Kierunkowa | Kierunkowa | Dookólna |
| | Azymut [°] | 90; 120 | 247 | 20; 110 | - |
| | Producent | Brak danych | Andrew Corp. | Huawei Technologies Co., Ltd. | Brak danych |
| Urządzenie Obciążenie (antena) | Nr źródła | 27 | 28 | 29 | 30 |
| | Użytkownik | Komenda Wojewódzka Policji w Szczecinie | ABW w Warszawie | P4 Sp. z o.o. | Orange Polska S.A. - PTK |
| | Typ nadajnika | Antena | Antena | Linia Radiowa | Antena Sektorowa |
| | Częstotliwość znamionowa | Brak danych | Brak danych | 23 GHz | Brak danych |
| | Moc wyjściowa rzeczywista | Brak danych | Brak danych | Brak danych | Brak danych |
| | Wysokość zainstalowania [m n.p.t.] | 62,0 | 62,0 | 63,0 | 63,0 |
| | Typ anteny | SDM4-160/h | CXL 70-5C/s | VHLPX2-23-HW1A | K739 623 |
| | Konfiguracja | 1 x 1 | 1 x 2 | 1 x 1 | 1 x 1 |
| | Moc promieniowania (ERP) | Brak danych | Brak danych | Brak danych | Brak danych |
| | Charakterystyka promieniowania | Kierunkowa | Kierunkowa | Kierunkowa | Kierunkowa |
| | Azymut [°] | 280 | 190; 280 | 52 | 150 |
| | Producent | Brak danych | Procom | Andrew Corp. | Kathrein |
| Urządzenie Obciążenie (antena) | Nr źródła | 31 | 32 | 33 | 34 |
| | Użytkownik | ESPOL Sp. z o.o. | Orange Polska S.A. - PTK | Orange Polska S.A. - PTK | KWP w Szczecinie |
| | Typ nadajnika | Antena Sektorowa | Antena Sektorowa | Antena Sektorowa | Antena |
| | Częstotliwość znamionowa | Brak danych | Brak danych | Brak danych | Brak danych |
| | Moc wyjściowa rzeczywista | Brak danych | Brak danych | Brak danych | Brak danych |
| | Wysokość zainstalowania [m n.p.t.] | 65,0 | 71,0 | 71,0 | 74,0 |
| | Typ anteny | Brak danych | K 732 327 | 2 x K 739 854 | 2 x R-F 333NH |
| | Konfiguracja | 1 x 2 | 1 x 1 | 1 x 1 | 1 x 1 |
| | Moc promieniowania (ERP) | Brak danych | Brak danych | Brak danych | Brak danych |
| | Charakterystyka promieniowania | Kierunkowa | Kierunkowa | Kierunkowa | Dookólna |
| | Azymut [°] | 180; 240 | 235 | 340 | - |
| | Producent | Brak danych | Kathrein | Kathrein | Brak danych |

Tabela Nr 4 c.d.

| URZĄDZENIA EMITEL | | | | |
|-----------------------------------|------------------------------------|--------------------------|------------------------------------|---|
| Nr źródła | | 35 | 36 | 37 |
| Urządzenie Obciążenie (antena) | Użytkownik | Orange Polska S.A. - PTK | Polska Agencja Żeglugi Powietrznej | Komenda Miejska Państwowej Straży Pożarnej w Koszalinie |
| | Typ nadajnika | Antena Sektorowa | Antena | Antena |
| | Częstotliwość znamionowa | Brak danych | Brak danych | Brak danych |
| | Moc wyjściowa rzeczywista | Brak danych | Brak danych | Brak danych |
| | Wysokość zainstalowania [m n.p.t.] | 74,5 | 75,0 | 76,0 |
| | Typ anteny | K 739 623 | K 717 265 | 2 x A 3282/3 |
| | Konfiguracja | 1 x 1 | 1 x 1 | 1 x 1 |
| | Moc promieniowania (ERP) | Brak danych | Brak danych | Brak danych |
| | Charakterystyka promieniowania | Kierunkowa | Dookólna | Dookólna |
| | Azymut [°] | 50 | - | - |
| | Producent | Brak danych | Brak danych | Radmor |

W załączonej tabeli podano maksymalne parametry pracy tej instalacji deklarowane przez prowadzącego instalację. Podczas pomiarów urządzenia użytkownika pracowały przy aktualnie występującym obciążeniu oraz podczas badania anteny użytkownika o sterowanych wiązkach zostały ustawione w sposób umożliwiający spełnienie wymagań pkt. 13 ppkt. 2 RMK.

Badania pól elektromagnetycznych z użyciem selektywnego miernika potwierdzają, że źródłem pól elektromagnetycznych o charakterze dominującym wokół Radiowo Telewizyjnych Centrów Nadawczych są pola pochodzące od anten UKF, DVB-T, DAB. Anteny te pracują ze stałą mocą EiRP, w związku z czym przy sprawdzaniu dotrzymania dopuszczalnych poziomów pól elektromagnetycznych w środowisku uwzględnia się poprawkę pomiarową o wartości 1,0

Ze względu na fakt, że pomiary wykonywane są przy użyciu miernika szerokopasmowego, wartość poprawki pomiarowej nie odnosi się oddzielnie ani do poszczególnych systemów i zakresów częstotliwości, ani do obecności innych instalacji emitujących pole – EM w sąsiedztwie lecz uwzględnia wszystkie te czynniki łącznie.

Jako dopuszczalne poziomy gęstości pola elektromagnetycznego przyjmuje się wartość 2W/m^2 , co odpowiada natężeniu składowej elektrycznej pola elektromagnetycznego o wartości 28 V/m – tj. minimalnej wartości dopuszczalnej dla zakresu częstotliwości od 10 MHz do 300 GHz.

6. Wyniki badań i szkic sytuacyjny

Tabela nr 5

| Data wykonania badania w terenie | Godzina | | Opady | Temperatura [°C] | | Wilgotność [%] | |
|----------------------------------|---------------------|---------------------|-------|------------------|------------|----------------|------------|
| | Rozpoczęcia badania | Zakończenia badania | | Minimalna | Maksymalna | Minimalna | Maksymalna |
| 18.05.2022 | 13:30 | 19:15 | Brak | 17,2 | 21,6 | 31 | 39 |

Temperatura i wilgotność względna nie wyższa niż dopuszczalna specyfikacja miernika.

Tabela nr 6

| Nr pionu/ punktu | Lokalizacja pionu / punktu pomiarowego | | | Wartości obliczane zgodnie z wymaganiami załącznika do RMK z 18.02.2020 r. (Dz. U. 2020, poz. 258) | | | | | | |
|---------------------|--|----------|--|--|-------------------|------------------------------|------------------------------------|---|---------------------------|---|
| | LAT | LON | Opis | Wysokość pomiaru | Wartość zmierzona | Wynik badania z niepewnością | Wynik pomiaru pola-E ^{*)} | Wskaźnik poziomu emisji WM _E | Wartość wyznaczona pola-H | Wskaźnik poziomu emisji WM _H |
| | | | | [m] | [V/m] | [V/m] | [V/m] | | [A/m] | |
| 1 | 2 | 3 | 4 | 5 | 6 | 7 | 8 | 9 | 10 | 11 |
| 1 | 54.20389 | 16.22611 | GKP; poziom terenu wokół stacji bazowej-1m od ogrodzenia | 2,0 | 1,0 | 1,4 | 1,4 | 0,05 | 0,004 | 0,05 |
| 2 | 54.20403 | 16.22611 | GKP; poziom terenu wokół stacji bazowej | 2,0 | 1,0 | 1,4 | 1,4 | 0,05 | 0,004 | 0,05 |
| 3 | 54.20417 | 16.22611 | GKP; poziom terenu wokół stacji bazowej | 2,0 | 0,9 ^{N)} | 1,4 | 1,4 | 0,05 | 0,004 | 0,05 |
| 4 | 54.20444 | 16.22611 | GKP; poziom terenu wokół stacji bazowej | 2,0 | 0,8 ^{N)} | 1,4 | 1,4 | 0,05 | 0,004 | 0,05 |
| 5 | 54.20458 | 16.22611 | GKP; poziom terenu wokół stacji bazowej | 2,0 | 0,8 ^{N)} | 1,4 | 1,4 | 0,05 | 0,004 | 0,05 |
| 6 | 54.20472 | 16.22611 | GKP; poziom terenu wokół stacji bazowej | 2,0 | 0,9 ^{N)} | 1,4 | 1,4 | 0,05 | 0,004 | 0,05 |
| 7 | 54.205 | 16.22611 | GKP; poziom terenu wokół stacji bazowej | 2,0 | 0,9 ^{N)} | 1,4 | 1,4 | 0,05 | 0,004 | 0,05 |
| 8 | 54.20514 | 16.22611 | GKP; poziom terenu wokół stacji bazowej | 2,0 | 0,8 ^{N)} | 1,4 | 1,4 | 0,05 | 0,004 | 0,05 |
| 9 | 54.20528 | 16.22611 | GKP; poziom terenu wokół stacji bazowej | 2,0 | 0,8 ^{N)} | 1,4 | 1,4 | 0,05 | 0,004 | 0,05 |
| 10 | 54.20542 | 16.22611 | GKP; poziom terenu wokół stacji bazowej | 2,0 | 0,8 ^{N)} | 1,4 | 1,4 | 0,05 | 0,004 | 0,05 |
| 11 | 54.20389 | 16.22625 | GKP; poziom terenu wokół stacji bazowej-1m od ogrodzenia | 2,0 | 0,9 ^{N)} | 1,4 | 1,4 | 0,05 | 0,004 | 0,05 |
| 12 | 54.20403 | 16.22639 | GKP; poziom terenu wokół stacji bazowej | 2,0 | 0,9 ^{N)} | 1,4 | 1,4 | 0,05 | 0,004 | 0,05 |

^{*)} Za wynik pomiaru przyjmuje się wartość wyznaczoną jako iloczyn maksymalnej chwilowej wartości zmierzonej i poprawki pomiarowej, powiększoną o rozszerzoną niepewność pomiaru U dla współczynnika rozszerzenia k=2

^{N)} Wartość zmierzona spoza zakresu akredytacji. Do uzyskania wyniku badania interpoluje się wartość zmierzoną do wartości dolnej granicy zakresu pomiarowego metody. Wartość tą wykorzystuje się do wyliczenia wyniku pomiaru i do stwierdzenia zgodności.

Objaśnienia:

GKP – Główny Kierunek Pomiarowy

Tabela nr 6 c.d.

| Lokalizacja pionu / punktu pomiarowego | | | | Wartości obliczane zgodnie z wymaganiami załącznika do RMK z 18.02.2020 r. (Dz. U. 2020, poz. 258) | | | | | | |
|--|----------|----------|--|--|-------------------|------------------------------|------------------------------------|---|---------------------------|---|
| Nr pionu/ punktu | LAT | LON | Opis | Wysokość pomiaru | Wartość zmierzona | Wynik badania z niepewnością | Wynik pomiaru pola-E ^{*)} | Wskaźnik poziomu emisji WM _E | Wartość wyznaczona pola-H | Wskaźnik poziomu emisji WM _H |
| | | | | [m] | [V/m] | [V/m] | [V/m] | | [A/m] | |
| 1 | 2 | 3 | 4 | 5 | 6 | 7 | 8 | 9 | 10 | 11 |
| 13 | 54.20431 | 16.22639 | GKP; poziom terenu wokół stacji bazowej | 2,0 | 1,0 | 1,4 | 1,4 | 0,05 | 0,004 | 0,05 |
| 14 | 54.20444 | 16.22653 | GKP; poziom terenu wokół stacji bazowej | 2,0 | 1,0 | 1,4 | 1,4 | 0,05 | 0,004 | 0,05 |
| 15 | 54.20458 | 16.22667 | GKP; poziom terenu wokół stacji bazowej | 2,0 | 1,0 | 1,4 | 1,4 | 0,05 | 0,004 | 0,05 |
| 16 | 54.20472 | 16.22667 | GKP; poziom terenu wokół stacji bazowej | 2,0 | 0,9 ^{N)} | 1,4 | 1,4 | 0,05 | 0,004 | 0,05 |
| 17 | 54.20486 | 16.22681 | GKP; poziom terenu wokół stacji bazowej | 2,0 | 0,9 ^{N)} | 1,4 | 1,4 | 0,05 | 0,004 | 0,05 |
| 18 | 54.20514 | 16.22695 | GKP; poziom terenu wokół stacji bazowej | 2,0 | 0,8 ^{N)} | 1,4 | 1,4 | 0,05 | 0,004 | 0,05 |
| 19 | 54.20528 | 16.22708 | GKP; poziom terenu wokół stacji bazowej | 2,0 | 0,8 ^{N)} | 1,4 | 1,4 | 0,05 | 0,004 | 0,05 |
| 20 | 54.20542 | 16.22708 | GKP; poziom terenu wokół stacji bazowej | 2,0 | 0,8 ^{N)} | 1,4 | 1,4 | 0,05 | 0,004 | 0,05 |
| 21 | 54.20403 | 16.22681 | PKP; poziom terenu wokół stacji bazowej-1m od ogrodzenia | 2,0 | 0,9 ^{N)} | 1,4 | 1,4 | 0,05 | 0,004 | 0,05 |
| 22 | 54.20417 | 16.22708 | PKP; poziom terenu wokół stacji bazowej | 2,0 | 0,9 ^{N)} | 1,4 | 1,4 | 0,05 | 0,004 | 0,05 |
| 23 | 54.20431 | 16.22736 | PKP; poziom terenu wokół stacji bazowej | 2,0 | 1,0 | 1,4 | 1,4 | 0,05 | 0,004 | 0,05 |
| 24 | 54.20444 | 16.2275 | PKP; poziom terenu wokół stacji bazowej | 2,0 | 1,0 | 1,4 | 1,4 | 0,05 | 0,004 | 0,05 |
| 25 | 54.20458 | 16.22778 | PKP; poziom terenu wokół stacji bazowej | 2,0 | 0,9 ^{N)} | 1,4 | 1,4 | 0,05 | 0,004 | 0,05 |
| 26 | 54.20472 | 16.22806 | PKP; poziom terenu wokół stacji bazowej | 2,0 | 0,9 ^{N)} | 1,4 | 1,4 | 0,05 | 0,004 | 0,05 |
| 27 | 54.20472 | 16.2282 | PKP; poziom terenu wokół stacji bazowej | 2,0 | 0,8 ^{N)} | 1,4 | 1,4 | 0,05 | 0,004 | 0,05 |
| 28 | 54.20486 | 16.22833 | PKP; poziom terenu wokół stacji bazowej | 2,0 | 0,8 ^{N)} | 1,4 | 1,4 | 0,05 | 0,004 | 0,05 |

*) Za wynik pomiaru przyjmuje się wartość wyznaczoną jako iloczyn maksymalnej chwilowej wartości zmierzonej i poprawki pomiarowej, powiększoną o rozszerzoną niepewność pomiaru U dla współczynnika rozszerzenia k=2

N) Wartość zmierzona spoza zakresu akredytacji. Do uzyskania wyniku badania interpoluje się wartość zmierzoną do wartości dolnej granicy zakresu pomiarowego metody. Wartość tą wykorzystuje się do wyliczenia wyniku pomiaru i do stwierdzenia zgodności.

Objaśnienia:

GKP – Główny Kierunek Pomiarowy

PKP – Pomocniczy Kierunek Pomiarowy

Tabela nr 6 c.d.

| Lokalizacja pionu / punktu pomiarowego | | | | Wartości obliczane zgodnie z wymaganiami załącznika do RMK z 18.02.2020 r. (Dz. U. 2020, poz. 258) | | | | | | |
|--|----------|----------|--|--|-------------------|------------------------------|------------------------------------|---|---------------------------|---|
| Nr pionu/ punktu | LAT | LON | Opis | Wysokość pomiaru | Wartość zmierzona | Wynik badania z niepewnością | Wynik pomiaru pola-E ^{*)} | Wskaźnik poziomu emisji WM _E | Wartość wyznaczona pola-H | Wskaźnik poziomu emisji WM _H |
| | | | | [m] | [V/m] | [V/m] | [V/m] | | [A/m] | |
| 1 | 2 | 3 | 4 | 5 | 6 | 7 | 8 | 9 | 10 | 11 |
| 29 | 54.20375 | 16.22695 | PKP; poziom terenu wokół stacji bazowej-1m od ogrodzenia | 2,0 | 1,0 | 1,4 | 1,4 | 0,05 | 0,004 | 0,05 |
| 30 | 54.20389 | 16.22722 | PKP; poziom terenu wokół stacji bazowej | 2,0 | 0,9 ^{N)} | 1,4 | 1,4 | 0,05 | 0,004 | 0,05 |
| 31 | 54.20389 | 16.2275 | PKP; poziom terenu wokół stacji bazowej | 2,0 | 1,0 | 1,4 | 1,4 | 0,05 | 0,004 | 0,05 |
| 32 | 54.20389 | 16.22778 | PKP; poziom terenu wokół stacji bazowej | 2,0 | 0,9 ^{N)} | 1,4 | 1,4 | 0,05 | 0,004 | 0,05 |
| 33 | 54.20389 | 16.2282 | PKP; poziom terenu wokół stacji bazowej | 2,0 | 0,9 ^{N)} | 1,4 | 1,4 | 0,05 | 0,004 | 0,05 |
| 34 | 54.20403 | 16.22847 | PKP; poziom terenu wokół stacji bazowej | 2,0 | 0,9 ^{N)} | 1,4 | 1,4 | 0,05 | 0,004 | 0,05 |
| 35 | 54.20403 | 16.22875 | PKP; poziom terenu wokół stacji bazowej | 2,0 | 0,8 ^{N)} | 1,4 | 1,4 | 0,05 | 0,004 | 0,05 |
| 36 | 54.20403 | 16.22903 | PKP; poziom terenu wokół stacji bazowej | 2,0 | 0,8 ^{N)} | 1,4 | 1,4 | 0,05 | 0,004 | 0,05 |
| 37 | 54.20403 | 16.22917 | PKP; poziom terenu wokół stacji bazowej | 2,0 | 0,8 ^{N)} | 1,4 | 1,4 | 0,05 | 0,004 | 0,05 |
| 38 | 54.20361 | 16.22681 | GKP; poziom terenu wokół stacji bazowej-1m od ogrodzenia | 2,0 | 1,0 | 1,4 | 1,4 | 0,05 | 0,004 | 0,05 |
| 39 | 54.20347 | 16.22708 | GKP; poziom terenu wokół stacji bazowej | 2,0 | 1,2 | 1,6 | 1,6 | 0,06 | 0,004 | 0,06 |
| 40 | 54.20347 | 16.22736 | GKP; poziom terenu wokół stacji bazowej | 2,0 | 1,4 | 1,9 | 1,9 | 0,07 | 0,005 | 0,07 |
| 41 | 54.20333 | 16.22764 | GKP; poziom terenu wokół stacji bazowej | 2,0 | 1,6 | 2,2 | 2,2 | 0,08 | 0,006 | 0,08 |
| 42 | 54.20333 | 16.22792 | GKP; poziom terenu wokół stacji bazowej | 2,0 | 1,2 | 1,6 | 1,6 | 0,06 | 0,004 | 0,06 |
| 43 | 54.20333 | 16.2282 | GKP; poziom terenu wokół stacji bazowej | 2,0 | 1,0 | 1,4 | 1,4 | 0,05 | 0,004 | 0,05 |
| 44 | 54.20319 | 16.22847 | GKP; poziom terenu wokół stacji bazowej | 2,0 | 0,9 ^{N)} | 1,4 | 1,4 | 0,05 | 0,004 | 0,05 |

*) Za wynik pomiaru przyjmuje się wartość wyznaczoną jako iloczyn maksymalnej chwilowej wartości zmierzonej i poprawki pomiarowej, powiększoną o rozszerzoną niepewność pomiaru U dla współczynnika rozszerzenia k=2

N) Wartość zmierzona spoza zakresu akredytacji. Do uzyskania wyniku badania interpoluje się wartość zmierzoną do wartości dolnej granicy zakresu pomiarowego metody. Wartość tą wykorzystuje się do wyliczenia wyniku pomiaru i do stwierdzenia zgodności.

Objaśnienia:

GKP – Główny Kierunek Pomiarowy
 PKP – Pomocniczy Kierunek Pomiarowy

Tabela nr 6 c.d.

| Lokalizacja pionu / punktu pomiarowego | | | | Wartości obliczane zgodnie z wymaganiami załącznika do RMK z 18.02.2020 r. (Dz. U. 2020, poz. 258) | | | | | | |
|--|----------|----------|--|--|-------------------|------------------------------|------------------------------------|---|---------------------------|---|
| Nr pionu/ punktu | LAT | LON | Opis | Wysokość pomiaru | Wartość zmierzona | Wynik badania z niepewnością | Wynik pomiaru pola-E ^{*)} | Wskaźnik poziomu emisji WM _E | Wartość wyznaczona pola-H | Wskaźnik poziomu emisji WM _H |
| | | | | [m] | [V/m] | [V/m] | [V/m] | | [A/m] | |
| 1 | 2 | 3 | 4 | 5 | 6 | 7 | 8 | 9 | 10 | 11 |
| 45 | 54.20319 | 16.22875 | GKP; poziom terenu wokół stacji bazowej | 2,0 | 0,9 ^{N)} | 1,4 | 1,4 | 0,05 | 0,004 | 0,05 |
| 46 | 54.20306 | 16.22903 | GKP; poziom terenu wokół stacji bazowej | 2,0 | 0,8 ^{N)} | 1,4 | 1,4 | 0,05 | 0,004 | 0,05 |
| 47 | 54.20347 | 16.22667 | PKP; poziom terenu wokół stacji bazowej-1m od ogrodzenia | 2,0 | 1,0 | 1,4 | 1,4 | 0,05 | 0,004 | 0,05 |
| 48 | 54.20333 | 16.22695 | PKP; poziom terenu wokół stacji bazowej | 2,0 | 1,0 | 1,4 | 1,4 | 0,05 | 0,004 | 0,05 |
| 49 | 54.20333 | 16.22722 | PKP; poziom terenu wokół stacji bazowej | 2,0 | 1,0 | 1,4 | 1,4 | 0,05 | 0,004 | 0,05 |
| 50 | 54.20319 | 16.2275 | PKP; poziom terenu wokół stacji bazowej | 2,0 | 0,9 ^{N)} | 1,4 | 1,4 | 0,05 | 0,004 | 0,05 |
| 51 | 54.20319 | 16.22778 | PKP; poziom terenu wokół stacji bazowej | 2,0 | 0,9 ^{N)} | 1,4 | 1,4 | 0,05 | 0,004 | 0,05 |
| 52 | 54.20306 | 16.22806 | PKP; poziom terenu wokół stacji bazowej | 2,0 | 0,8 ^{N)} | 1,4 | 1,4 | 0,05 | 0,004 | 0,05 |
| 53 | 54.20292 | 16.22833 | PKP; poziom terenu wokół stacji bazowej | 2,0 | 0,8 ^{N)} | 1,4 | 1,4 | 0,05 | 0,004 | 0,05 |
| 54 | 54.20278 | 16.22861 | PKP; poziom terenu wokół stacji bazowej | 2,0 | 0,8 ^{N)} | 1,4 | 1,4 | 0,05 | 0,004 | 0,05 |
| 55 | 54.20333 | 16.22639 | PKP; poziom terenu wokół stacji bazowej-1m od ogrodzenia | 2,0 | 1,1 | 1,5 | 1,5 | 0,05 | 0,004 | 0,05 |
| 56 | 54.20319 | 16.22667 | PKP; poziom terenu wokół stacji bazowej | 2,0 | 1,4 | 1,9 | 1,9 | 0,07 | 0,005 | 0,07 |
| 57 | 54.20306 | 16.22681 | PKP; poziom terenu wokół stacji bazowej | 2,0 | 1,2 | 1,6 | 1,6 | 0,06 | 0,004 | 0,06 |
| 58 | 54.20292 | 16.22695 | PKP; poziom terenu wokół stacji bazowej | 2,0 | 1,5 | 2,0 | 2,0 | 0,07 | 0,005 | 0,07 |
| 59 | 54.20278 | 16.22708 | PKP; poziom terenu wokół stacji bazowej | 2,0 | 1,3 | 1,8 | 1,8 | 0,06 | 0,005 | 0,06 |
| 60 | 54.2025 | 16.22722 | PKP; poziom terenu wokół stacji bazowej | 2,0 | 1,1 | 1,5 | 1,5 | 0,05 | 0,004 | 0,05 |

*) Za wynik pomiaru przyjmuje się wartość wyznaczoną jako iloczyn maksymalnej chwilowej wartości zmierzonej i poprawki pomiarowej, powiększoną o rozszerzoną niepewność pomiaru U dla współczynnika rozszerzenia k=2
^{N)} Wartość zmierzona spoza zakresu akredytacji. Do uzyskania wyniku badania interpoluje się wartość zmierzona do wartości dolnej granicy zakresu pomiarowego metody. Wartość tą wykorzystuje się do wyliczenia wyniku pomiaru i do stwierdzenia zgodności.

Objaśnienia:

GKP – Główny Kierunek Pomiarowy
 PKP – Pomocniczy Kierunek Pomiarowy

Tabela nr 6 c.d.

| Lokalizacja pionu / punktu pomiarowego | | | | Wartości obliczane zgodnie z wymaganiami załącznika do RMK z 18.02.2020 r. (Dz. U. 2020, poz. 258) | | | | | | |
|--|----------|----------|--|--|-------------------|------------------------------|------------------------------------|---|---------------------------|---|
| Nr pionu/ punktu | LAT | LON | Opis | Wysokość pomiaru | Wartość zmierzona | Wynik badania z niepewnością | Wynik pomiaru pola-E ^{*)} | Wskaźnik poziomu emisji WM _E | Wartość wyznaczona pola-H | Wskaźnik poziomu emisji WM _H |
| | | | | [m] | [V/m] | [V/m] | [V/m] | | [A/m] | |
| 1 | 2 | 3 | 4 | 5 | 6 | 7 | 8 | 9 | 10 | 11 |
| 61 | 54.20236 | 16.22736 | PKP; poziom terenu wokół stacji bazowej | 2,0 | 0,9 ^{N)} | 1,4 | 1,4 | 0,05 | 0,004 | 0,05 |
| 62 | 54.20222 | 16.2275 | PKP; poziom terenu wokół stacji bazowej | 2,0 | 0,9 ^{N)} | 1,4 | 1,4 | 0,05 | 0,004 | 0,05 |
| 63 | 54.20222 | 16.2275 | PKP; poziom terenu wokół stacji bazowej | 2,0 | 0,8 ^{N)} | 1,4 | 1,4 | 0,05 | 0,004 | 0,05 |
| 64 | 54.20319 | 16.22611 | GKP; poziom terenu wokół stacji bazowej-1m od ogrodzenia | 2,0 | 0,9 ^{N)} | 1,4 | 1,4 | 0,05 | 0,004 | 0,05 |
| 65 | 54.20306 | 16.22611 | GKP; poziom terenu wokół stacji bazowej | 2,0 | 0,9 ^{N)} | 1,4 | 1,4 | 0,05 | 0,004 | 0,05 |
| 66 | 54.20292 | 16.22611 | GKP; poziom terenu wokół stacji bazowej | 2,0 | 1,0 | 1,4 | 1,4 | 0,05 | 0,004 | 0,05 |
| 67 | 54.20278 | 16.22611 | GKP; poziom terenu wokół stacji bazowej | 2,0 | 1,0 | 1,4 | 1,4 | 0,05 | 0,004 | 0,05 |
| 68 | 54.2025 | 16.22611 | GKP; poziom terenu wokół stacji bazowej | 2,0 | 0,9 ^{N)} | 1,4 | 1,4 | 0,05 | 0,004 | 0,05 |
| 69 | 54.20236 | 16.22611 | GKP; poziom terenu wokół stacji bazowej | 2,0 | 0,8 ^{N)} | 1,4 | 1,4 | 0,05 | 0,004 | 0,05 |
| 70 | 54.20222 | 16.22611 | GKP; poziom terenu wokół stacji bazowej | 2,0 | 0,8 ^{N)} | 1,4 | 1,4 | 0,05 | 0,004 | 0,05 |
| 71 | 54.20195 | 16.22611 | GKP; poziom terenu wokół stacji bazowej | 2,0 | 0,8 ^{N)} | 1,4 | 1,4 | 0,05 | 0,004 | 0,05 |
| 72 | 54.20333 | 16.22597 | PKP; poziom terenu wokół stacji bazowej-1m od ogrodzenia | 2,0 | 0,9 ^{N)} | 1,4 | 1,4 | 0,05 | 0,004 | 0,05 |
| 73 | 54.20319 | 16.22597 | PKP; poziom terenu wokół stacji bazowe | 2,0 | 0,9 ^{N)} | 1,4 | 1,4 | 0,05 | 0,004 | 0,05 |
| 74 | 54.20306 | 16.22597 | PKP; poziom terenu wokół stacji bazowe | 2,0 | 1,0 | 1,4 | 1,4 | 0,05 | 0,004 | 0,05 |
| 75 | 54.20278 | 16.22597 | PKP; poziom terenu wokół stacji bazowe | 2,0 | 1,0 | 1,4 | 1,4 | 0,05 | 0,004 | 0,05 |
| 76 | 54.20264 | 16.22597 | PKP; poziom terenu wokół stacji bazowe | 2,0 | 0,9 ^{N)} | 1,4 | 1,4 | 0,05 | 0,004 | 0,05 |

*) Za wynik pomiaru przyjmuje się wartość wyznaczoną jako iloczyn maksymalnej chwilowej wartości zmierzonej i poprawki pomiarowej, powiększoną o rozszerzoną niepewność pomiaru U dla współczynnika rozszerzenia k=2
^{N)} Wartość zmierzona spoza zakresu akredytacji. Do uzyskania wyniku badania interpoluje się wartość zmierzona do wartości dolnej granicy zakresu pomiarowego metody. Wartość tą wykorzystuje się do wyliczenia wyniku pomiaru i do stwierdzenia zgodności.

Objaśnienia:

GKP – Główny Kierunek Pomiarowy
 PKP – Pomocniczy Kierunek Pomiarowy

Tabela nr 6 c.d.

| Lokalizacja pionu / punktu pomiarowego | | | | Wartości obliczane zgodnie z wymaganiami załącznika do RMK z 18.02.2020 r. (Dz. U. 2020, poz. 258) | | | | | | |
|--|----------|----------|--|--|-------------------|------------------------------|------------------------------------|---|---------------------------|---|
| Nr pionu/ punktu | LAT | LON | Opis | Wysokość pomiaru | Wartość zmierzona | Wynik badania z niepewnością | Wynik pomiaru pola-E ^{*)} | Wskaźnik poziomu emisji WM _E | Wartość wyznaczona pola-H | Wskaźnik poziomu emisji WM _H |
| | | | | [m] | [V/m] | [V/m] | [V/m] | | [A/m] | |
| 1 | 2 | 3 | 4 | 5 | 6 | 7 | 8 | 9 | 10 | 11 |
| 77 | 54.2025 | 16.22583 | PKP; poziom terenu wokół stacji bazowe | 2,0 | 0,8 ^{N)} | 1,4 | 1,4 | 0,05 | 0,004 | 0,05 |
| 78 | 54.20222 | 16.22583 | PKP; poziom terenu wokół stacji bazowe | 2,0 | 0,9 ^{N)} | 1,4 | 1,4 | 0,05 | 0,004 | 0,05 |
| 79 | 54.20222 | 16.22583 | PKP; poziom terenu wokół stacji bazowe | 2,0 | 0,8 ^{N)} | 1,4 | 1,4 | 0,05 | 0,004 | 0,05 |
| 80 | 54.20347 | 16.22597 | GKP; poziom terenu wokół stacji bazowej-1m od ogrodzenia | 2,0 | 0,9 ^{N)} | 1,4 | 1,4 | 0,05 | 0,004 | 0,05 |
| 81 | 54.20333 | 16.22583 | GKP; poziom terenu wokół stacji bazowej | 2,0 | 0,9 ^{N)} | 1,4 | 1,4 | 0,05 | 0,004 | 0,05 |
| 82 | 54.20306 | 16.22569 | GKP; poziom terenu wokół stacji bazowej | 2,0 | 1,0 | 1,4 | 1,4 | 0,05 | 0,004 | 0,05 |
| 83 | 54.20292 | 16.22569 | GKP; poziom terenu wokół stacji bazowej | 2,0 | 1,0 | 1,4 | 1,4 | 0,05 | 0,004 | 0,05 |
| 84 | 54.20278 | 16.22556 | GKP; poziom terenu wokół stacji bazowej | 2,0 | 1,0 | 1,4 | 1,4 | 0,05 | 0,004 | 0,05 |
| 85 | 54.20264 | 16.22542 | GKP; poziom terenu wokół stacji bazowej | 2,0 | 0,9 ^{N)} | 1,4 | 1,4 | 0,05 | 0,004 | 0,05 |
| 86 | 54.2025 | 16.22542 | GKP; poziom terenu wokół stacji bazowej | 2,0 | 0,9 ^{N)} | 1,4 | 1,4 | 0,05 | 0,004 | 0,05 |
| 87 | 54.20222 | 16.22528 | GKP; poziom terenu wokół stacji bazowej | 2,0 | 0,9 ^{N)} | 1,4 | 1,4 | 0,05 | 0,004 | 0,05 |
| 88 | 54.20208 | 16.22514 | GKP; poziom terenu wokół stacji bazowej | 2,0 | 0,8 ^{N)} | 1,4 | 1,4 | 0,05 | 0,004 | 0,05 |
| 89 | 54.20195 | 16.22514 | GKP; poziom terenu wokół stacji bazowej | 2,0 | 0,8 ^{N)} | 1,4 | 1,4 | 0,05 | 0,004 | 0,05 |
| 90 | 54.20347 | 16.22597 | PKP; poziom terenu wokół stacji bazowej-1m od ogrodzenia | 2,0 | 0,9 ^{N)} | 1,4 | 1,4 | 0,05 | 0,004 | 0,05 |
| 91 | 54.20333 | 16.22583 | PKP; poziom terenu wokół stacji bazowej | 2,0 | 0,9 ^{N)} | 1,4 | 1,4 | 0,05 | 0,004 | 0,05 |
| 92 | 54.20319 | 16.22556 | PKP; poziom terenu wokół stacji bazowej | 2,0 | 1,0 | 1,4 | 1,4 | 0,05 | 0,004 | 0,05 |

*) Za wynik pomiaru przyjmuje się wartość wyznaczoną jako iloczyn maksymalnej chwilowej wartości zmierzonej i poprawki pomiarowej, powiększoną o rozszerzoną niepewność pomiaru U dla współczynnika rozszerzenia k=2
^{N)} Wartość zmierzona spoza zakresu akredytacji. Do uzyskania wyniku badania interpoluje się wartość zmierzona do wartości dolnej granicy zakresu pomiarowego metody. Wartość tą wykorzystuje się do wyliczenia wyniku pomiaru i do stwierdzenia zgodności.

Objaśnienia:

GKP – Główny Kierunek Pomiarowy
 PKP – Pomocniczy Kierunek Pomiarowy

Tabela nr 6 c.d.

| Lokalizacja pionu / punktu pomiarowego | | | | Wartości obliczane zgodnie z wymaganiami załącznika do RMK z 18.02.2020 r. (Dz. U. 2020, poz. 258) | | | | | | |
|--|----------|----------|---|--|-------------------|------------------------------|------------------------------------|---|---------------------------|---|
| Nr pionu/ punktu | LAT | LON | Opis | Wysokość pomiaru | Wartość zmierzona | Wynik badania z niepewnością | Wynik pomiaru pola-E ^{*)} | Wskaźnik poziomu emisji WM _E | Wartość wyznaczona pola-H | Wskaźnik poziomu emisji WM _H |
| | | | | [m] | [V/m] | [V/m] | [V/m] | | [A/m] | |
| 1 | 2 | 3 | 4 | 5 | 6 | 7 | 8 | 9 | 10 | 11 |
| 93 | 54.20306 | 16.22542 | PKP; poziom terenu wokół stacji bazowe | 2,0 | 0,9 ^{N)} | 1,4 | 1,4 | 0,05 | 0,004 | 0,05 |
| 94 | 54.20292 | 16.22528 | PKP; poziom terenu wokół stacji bazowe | 2,0 | 1,0 | 1,4 | 1,4 | 0,05 | 0,004 | 0,05 |
| 95 | 54.20278 | 16.22514 | PKP; poziom terenu wokół stacji bazowe | 2,0 | 0,9 ^{N)} | 1,4 | 1,4 | 0,05 | 0,004 | 0,05 |
| 96 | 54.20264 | 16.225 | PKP; poziom terenu wokół stacji bazowe | 2,0 | 0,8 ^{N)} | 1,4 | 1,4 | 0,05 | 0,004 | 0,05 |
| 97 | 54.20236 | 16.22486 | PKP; poziom terenu wokół stacji bazowe | 2,0 | 0,8 ^{N)} | 1,4 | 1,4 | 0,05 | 0,004 | 0,05 |
| 98 | 54.20222 | 16.22472 | PKP; poziom terenu wokół stacji bazowe | 2,0 | 0,8 ^{N)} | 1,4 | 1,4 | 0,05 | 0,004 | 0,05 |
| 99 | 54.20222 | 16.22458 | PKP; poziom terenu wokół stacji bazowe | 2,0 | 0,8 ^{N)} | 1,4 | 1,4 | 0,05 | 0,004 | 0,05 |
| 100 | 54.20319 | 16.22556 | PKP; poziom terenu wokół stacji bazowej | 2,0 | 1,0 | 1,4 | 1,4 | 0,05 | 0,004 | 0,05 |
| 101 | 54.20306 | 16.22542 | PKP; poziom terenu wokół stacji bazowej | 2,0 | 1,0 | 1,4 | 1,4 | 0,05 | 0,004 | 0,05 |
| 102 | 54.20292 | 16.22514 | PKP; poziom terenu wokół stacji bazowej | 2,0 | 1,0 | 1,4 | 1,4 | 0,05 | 0,004 | 0,05 |
| 103 | 54.20278 | 16.225 | PKP; poziom terenu wokół stacji bazowej | 2,0 | 0,9 ^{N)} | 1,4 | 1,4 | 0,05 | 0,004 | 0,05 |
| 104 | 54.20264 | 16.22486 | PKP; poziom terenu wokół stacji bazowej | 2,0 | 0,8 ^{N)} | 1,4 | 1,4 | 0,05 | 0,004 | 0,05 |
| 105 | 54.2025 | 16.22458 | PKP; poziom terenu wokół stacji bazowej | 2,0 | 0,8 ^{N)} | 1,4 | 1,4 | 0,05 | 0,004 | 0,05 |
| 106 | 54.20292 | 16.22486 | PKP; poziom terenu wokół stacji bazowe | 2,0 | 0,8 ^{N)} | 1,4 | 1,4 | 0,05 | 0,004 | 0,05 |
| 107 | 54.20278 | 16.22472 | PKP; poziom terenu wokół stacji bazowe | 2,0 | 0,8 ^{N)} | 1,4 | 1,4 | 0,05 | 0,004 | 0,05 |
| 108 | 54.20264 | 16.22445 | PKP; poziom terenu wokół stacji bazowe | 2,0 | 0,8 ^{N)} | 1,4 | 1,4 | 0,05 | 0,004 | 0,05 |
| 109 | 54.2025 | 16.22431 | PKP; poziom terenu wokół stacji bazowe | 2,0 | 0,8 ^{N)} | 1,4 | 1,4 | 0,05 | 0,004 | 0,05 |
| 110 | 54.20236 | 16.22417 | PKP; poziom terenu wokół stacji bazowe | 2,0 | 0,8 ^{N)} | 1,4 | 1,4 | 0,05 | 0,004 | 0,05 |

*) Za wynik pomiaru przyjmuje się wartość wyznaczoną jako iloczyn maksymalnej chwilowej wartości zmierzonej i poprawki pomiarowej, powiększoną o rozszerzoną niepewność pomiaru U dla współczynnika rozszerzenia k=2

N) Wartość zmierzona spoza zakresu akredytacji. Do uzyskania wyniku badania interpoluje się wartość zmierzoną do wartości dolnej granicy zakresu pomiarowego metody. Wartość tą wykorzystuje się do wyliczenia wyniku pomiaru i do stwierdzenia zgodności.

Objaśnienia:

PKP – Pomocniczy Kierunek Pomiarowy

Tabela nr 6 c.d.

| Lokalizacja pionu / punktu pomiarowego | | | | Wartości obliczane zgodnie z wymaganiami załącznika do RMK z 18.02.2020 r. (Dz. U. 2020, poz. 258) | | | | | | |
|--|----------|----------|--|--|-------------------|------------------------------|------------------------------------|---|---------------------------|---|
| Nr pionu/ punktu | LAT | LON | Opis | Wysokość pomiaru | Wartość zmierzona | Wynik badania z niepewnością | Wynik pomiaru pola-E ^{*)} | Wskaźnik poziomu emisji WM _E | Wartość wyznaczona pola-H | Wskaźnik poziomu emisji WM _H |
| | | | | [m] | [V/m] | [V/m] | [V/m] | | [A/m] | |
| 1 | 2 | 3 | 4 | 5 | 6 | 7 | 8 | 9 | 10 | 11 |
| 111 | 54.20361 | 16.22583 | GKP; poziom terenu wokół stacji bazowej-1m od ogrodzenia | 2,0 | 0,9 ^{N)} | 1,4 | 1,4 | 0,05 | 0,004 | 0,05 |
| 112 | 54.20347 | 16.22556 | GKP; poziom terenu wokół stacji bazowej | 2,0 | 0,9 ^{N)} | 1,4 | 1,4 | 0,05 | 0,004 | 0,05 |
| 113 | 54.20347 | 16.22528 | PKP; poziom terenu wokół stacji bazowej | 2,0 | 1,0 | 1,4 | 1,4 | 0,05 | 0,004 | 0,05 |
| 114 | 54.20333 | 16.225 | PKP; poziom terenu wokół stacji bazowej | 2,0 | 1,0 | 1,4 | 1,4 | 0,05 | 0,004 | 0,05 |
| 115 | 54.20319 | 16.22472 | PKP; poziom terenu wokół stacji bazowej | 2,0 | 0,9 ^{N)} | 1,4 | 1,4 | 0,05 | 0,004 | 0,05 |
| 116 | 54.20319 | 16.22445 | PKP; poziom terenu wokół stacji bazowej | 2,0 | 0,9 ^{N)} | 1,4 | 1,4 | 0,05 | 0,004 | 0,05 |
| 117 | 54.20306 | 16.22417 | PKP; poziom terenu wokół stacji bazowej | 2,0 | 1,0 | 1,4 | 1,4 | 0,05 | 0,004 | 0,05 |
| 118 | 54.20292 | 16.22403 | PKP; poziom terenu wokół stacji bazowej | 2,0 | 1,0 | 1,4 | 1,4 | 0,05 | 0,004 | 0,05 |
| 119 | 54.20292 | 16.22375 | PKP; poziom terenu wokół stacji bazowej | 2,0 | 0,8 ^{N)} | 1,4 | 1,4 | 0,05 | 0,004 | 0,05 |
| 120 | 54.20278 | 16.22361 | PKP; poziom terenu wokół stacji bazowej | 2,0 | 0,8 ^{N)} | 1,4 | 1,4 | 0,05 | 0,004 | 0,05 |
| 121 | 54.20347 | 16.22528 | GKP; poziom terenu wokół stacji bazowej | 2,0 | 1,0 | 1,4 | 1,4 | 0,05 | 0,004 | 0,05 |
| 122 | 54.20333 | 16.225 | GKP; poziom terenu wokół stacji bazowej | 2,0 | 1,0 | 1,4 | 1,4 | 0,05 | 0,004 | 0,05 |
| 123 | 54.20333 | 16.22472 | GKP; poziom terenu wokół stacji bazowej | 2,0 | 0,8 ^{N)} | 1,4 | 1,4 | 0,05 | 0,004 | 0,05 |
| 124 | 54.20319 | 16.22445 | GKP; poziom terenu wokół stacji bazowej | 2,0 | 0,9 ^{N)} | 1,4 | 1,4 | 0,05 | 0,004 | 0,05 |
| 125 | 54.20319 | 16.22417 | GKP; poziom terenu wokół stacji bazowej | 2,0 | 1,0 | 1,4 | 1,4 | 0,05 | 0,004 | 0,05 |
| 126 | 54.20306 | 16.22375 | GKP; poziom terenu wokół stacji bazowej | 2,0 | 0,9 ^{N)} | 1,4 | 1,4 | 0,05 | 0,004 | 0,05 |
| 127 | 54.20333 | 16.22431 | PKP; poziom terenu wokół stacji bazowe | 2,0 | 0,9 ^{N)} | 1,4 | 1,4 | 0,05 | 0,004 | 0,05 |

*) Za wynik pomiaru przyjmuje się wartość wyznaczoną jako iloczyn maksymalnej chwilowej wartości zmierzonej i poprawki pomiarowej, powiększoną o rozszerzoną niepewność pomiaru U dla współczynnika rozszerzenia k=2

N) Wartość zmierzona spoza zakresu akredytacji. Do uzyskania wyniku badania interpoluje się wartość zmierzona do wartości dolnej granicy zakresu pomiarowego metody. Wartość tą wykorzystuje się do wyliczenia wyniku pomiaru i do stwierdzenia zgodności.

Objaśnienia:

GKP – Główny Kierunek Pomiarowy

PKP – Pomocniczy Kierunek Pomiarowy

Tabela nr 6 c.d.

| Lokalizacja pionu / punktu pomiarowego | | | | Wartości obliczane zgodnie z wymaganiami załącznika do RMK z 18.02.2020 r. (Dz. U. 2020, poz. 258) | | | | | | |
|--|----------|----------|--|--|-------------------|------------------------------|------------------------------------|---|---------------------------|---|
| Nr pionu/ punktu | LAT | LON | Opis | Wysokość pomiaru | Wartość zmierzona | Wynik badania z niepewnością | Wynik pomiaru pola-E ^{*)} | Wskaźnik poziomu emisji WM _E | Wartość wyznaczona pola-H | Wskaźnik poziomu emisji WM _H |
| | | | | [m] | [V/m] | [V/m] | [V/m] | | [A/m] | |
| 1 | 2 | 3 | 4 | 5 | 6 | 7 | 8 | 9 | 10 | 11 |
| 128 | 54.20333 | 16.22403 | PKP; poziom terenu wokół stacji bazowe | 2,0 | 1,0 | 1,4 | 1,4 | 0,05 | 0,004 | 0,05 |
| 129 | 54.20319 | 16.22375 | PKP; poziom terenu wokół stacji bazowe | 2,0 | 1,0 | 1,4 | 1,4 | 0,05 | 0,004 | 0,05 |
| 130 | 54.20319 | 16.22347 | PKP; poziom terenu wokół stacji bazowe | 2,0 | 0,9 ^{N)} | 1,4 | 1,4 | 0,05 | 0,004 | 0,05 |
| 131 | 54.20306 | 16.22333 | PKP; poziom terenu wokół stacji bazowe | 2,0 | 0,8 ^{N)} | 1,4 | 1,4 | 0,05 | 0,004 | 0,05 |
| 132 | 54.20375 | 16.22569 | GKP; poziom terenu wokół stacji bazowej-1m od ogrodzenia | 2,0 | 0,9 ^{N)} | 1,4 | 1,4 | 0,05 | 0,004 | 0,05 |
| 133 | 54.20375 | 16.22542 | GKP; poziom terenu wokół stacji bazowej | 2,0 | 0,9 ^{N)} | 1,4 | 1,4 | 0,05 | 0,004 | 0,05 |
| 134 | 54.20375 | 16.22514 | GKP; poziom terenu wokół stacji bazowej | 2,0 | 1,0 | 1,4 | 1,4 | 0,05 | 0,004 | 0,05 |
| 135 | 54.20375 | 16.22486 | GKP; poziom terenu wokół stacji bazowej | 2,0 | 1,0 | 1,4 | 1,4 | 0,05 | 0,004 | 0,05 |
| 136 | 54.20375 | 16.22445 | GKP; poziom terenu wokół stacji bazowej | 2,0 | 0,9 ^{N)} | 1,4 | 1,4 | 0,05 | 0,004 | 0,05 |
| 137 | 54.20375 | 16.22417 | PKP; poziom terenu wokół stacji bazowe | 2,0 | 0,8 ^{N)} | 1,4 | 1,4 | 0,05 | 0,004 | 0,05 |
| 138 | 54.20389 | 16.22389 | PKP; poziom terenu wokół stacji bazowe | 2,0 | 0,8 ^{N)} | 1,4 | 1,4 | 0,05 | 0,004 | 0,05 |
| 139 | 54.20389 | 16.22361 | PKP; poziom terenu wokół stacji bazowe | 2,0 | 0,8 ^{N)} | 1,4 | 1,4 | 0,05 | 0,004 | 0,05 |
| 140 | 54.20389 | 16.22417 | GKP; poziom terenu wokół stacji bazowej | 2,0 | 0,8 ^{N)} | 1,4 | 1,4 | 0,05 | 0,004 | 0,05 |
| 141 | 54.20389 | 16.22389 | GKP; poziom terenu wokół stacji bazowej | 2,0 | 0,8 ^{N)} | 1,4 | 1,4 | 0,05 | 0,004 | 0,05 |
| 142 | 54.20389 | 16.22361 | GKP; poziom terenu wokół stacji bazowej | 2,0 | 0,8 ^{N)} | 1,4 | 1,4 | 0,05 | 0,004 | 0,05 |
| 143 | 54.20403 | 16.22319 | GKP; poziom terenu wokół stacji bazowej | 2,0 | 0,8 ^{N)} | 1,4 | 1,4 | 0,05 | 0,004 | 0,05 |
| 144 | 54.20389 | 16.22542 | GKP; poziom terenu wokół stacji bazowej | 2,0 | 0,9 ^{N)} | 1,4 | 1,4 | 0,05 | 0,004 | 0,05 |

*) Za wynik pomiaru przyjmuje się wartość wyznaczoną jako iloczyn maksymalnej chwilowej wartości zmierzonej i poprawki pomiarowej, powiększoną o rozszerzoną niepewność pomiaru U dla współczynnika rozszerzenia k=2

N) Wartość zmierzona spoza zakresu akredytacji. Do uzyskania wyniku badania interpoluje się wartość zmierzona do wartości dolnej granicy zakresu pomiarowego metody. Wartość tą wykorzystuje się do wyliczenia wyniku pomiaru i do stwierdzenia zgodności.

Objaśnienia:

GKP – Główny Kierunek Pomiarowy

PKP – Pomocniczy Kierunek Pomiarowy

Tabela nr 6 c.d.

| Lokalizacja pionu / punktu pomiarowego | | | | Wartości obliczane zgodnie z wymaganiami załącznika do RMK z 18.02.2020 r. (Dz. U. 2020, poz. 258) | | | | | | |
|--|----------|----------|--|--|-------------------|------------------------------|------------------------------------|---|---------------------------|---|
| Nr pionu/ punktu | LAT | LON | Opis | Wysokość pomiaru | Wartość zmierzona | Wynik badania z niepewnością | Wynik pomiaru pola-E ^{*)} | Wskaźnik poziomu emisji WM _E | Wartość wyznaczona pola-H | Wskaźnik poziomu emisji WM _H |
| | | | | [m] | [V/m] | [V/m] | [V/m] | | [A/m] | |
| 1 | 2 | 3 | 4 | 5 | 6 | 7 | 8 | 9 | 10 | 11 |
| 145 | 54.20389 | 16.22514 | GKP; poziom terenu wokół stacji bazowej | 2,0 | 1,0 | 1,4 | 1,4 | 0,05 | 0,004 | 0,05 |
| 146 | 54.20389 | 16.22486 | GKP; poziom terenu wokół stacji bazowej | 2,0 | 1,0 | 1,4 | 1,4 | 0,05 | 0,004 | 0,05 |
| 147 | 54.20403 | 16.22458 | GKP; poziom terenu wokół stacji bazowej | 2,0 | 0,8 ^{N)} | 1,4 | 1,4 | 0,05 | 0,004 | 0,05 |
| 148 | 54.20403 | 16.22431 | GKP; poziom terenu wokół stacji bazowej | 2,0 | 0,9 ^{N)} | 1,4 | 1,4 | 0,05 | 0,004 | 0,05 |
| 149 | 54.20417 | 16.22403 | GKP; poziom terenu wokół stacji bazowej | 2,0 | 0,8 ^{N)} | 1,4 | 1,4 | 0,05 | 0,004 | 0,05 |
| 150 | 54.20417 | 16.22375 | GKP; poziom terenu wokół stacji bazowej | 2,0 | 0,8 ^{N)} | 1,4 | 1,4 | 0,05 | 0,004 | 0,05 |
| 151 | 54.20431 | 16.22347 | GKP; poziom terenu wokół stacji bazowej | 2,0 | 0,8 ^{N)} | 1,4 | 1,4 | 0,05 | 0,004 | 0,05 |
| 152 | 54.20431 | 16.22319 | GKP; poziom terenu wokół stacji bazowej | 2,0 | 0,8 ^{N)} | 1,4 | 1,4 | 0,05 | 0,004 | 0,05 |
| 153 | 54.20375 | 16.22583 | PKP; poziom terenu wokół stacji bazowej-1m od ogrodzenia | 2,0 | 1,0 | 1,4 | 1,4 | 0,05 | 0,004 | 0,05 |
| 154 | 54.20389 | 16.22569 | PKP; poziom terenu wokół stacji bazowe | 2,0 | 0,9 ^{N)} | 1,4 | 1,4 | 0,05 | 0,004 | 0,05 |
| 155 | 54.20403 | 16.22542 | PKP; poziom terenu wokół stacji bazowe | 2,0 | 1,0 | 1,4 | 1,4 | 0,05 | 0,004 | 0,05 |
| 156 | 54.20417 | 16.22514 | PKP; poziom terenu wokół stacji bazowe | 2,0 | 0,9 ^{N)} | 1,4 | 1,4 | 0,05 | 0,004 | 0,05 |
| 157 | 54.20431 | 16.22486 | PKP; poziom terenu wokół stacji bazowe | 2,0 | 0,9 ^{N)} | 1,4 | 1,4 | 0,05 | 0,004 | 0,05 |
| 158 | 54.20431 | 16.22472 | PKP; poziom terenu wokół stacji bazowe | 2,0 | 0,8 ^{N)} | 1,4 | 1,4 | 0,05 | 0,004 | 0,05 |
| 159 | 54.20444 | 16.22445 | PKP; poziom terenu wokół stacji bazowe | 2,0 | 0,8 ^{N)} | 1,4 | 1,4 | 0,05 | 0,004 | 0,05 |
| 160 | 54.20444 | 16.22417 | PKP; poziom terenu wokół stacji bazowe | 2,0 | 0,8 ^{N)} | 1,4 | 1,4 | 0,05 | 0,004 | 0,05 |
| 161 | 54.20458 | 16.22403 | PKP; poziom terenu wokół stacji bazowe | 2,0 | 0,8 ^{N)} | 1,4 | 1,4 | 0,05 | 0,004 | 0,05 |

*) Za wynik pomiaru przyjmuje się wartość wyznaczoną jako iloczyn maksymalnej chwilowej wartości zmierzonej i poprawki pomiarowej, powiększoną o rozszerzoną niepewność pomiaru U dla współczynnika rozszerzenia k=2

N) Wartość zmierzona spoza zakresu akredytacji. Do uzyskania wyniku badania interpoluje się wartość zmierzona do wartości dolnej granicy zakresu pomiarowego metody. Wartość tą wykorzystuje się do wyliczenia wyniku pomiaru i do stwierdzenia zgodności.

Objaśnienia:

GKP – Główny Kierunek Pomiarowy

PKP – Pomocniczy Kierunek Pomiarowy

Tabela nr 6 c.d.

| Lokalizacja pionu / punktu pomiarowego | | | | Wartości obliczane zgodnie z wymaganiami załącznika do RMK z 18.02.2020 r. (Dz. U. 2020, poz. 258) | | | | | | |
|--|----------|----------|--|--|-------------------|------------------------------|------------------------------------|---|---------------------------|---|
| Nr pionu/ punktu | LAT | LON | Opis | Wysokość pomiaru | Wartość zmierzona | Wynik badania z niepewnością | Wynik pomiaru pola-E ^{*)} | Wskaźnik poziomu emisji WM _E | Wartość wyznaczona pola-H | Wskaźnik poziomu emisji WM _H |
| | | | | [m] | [V/m] | [V/m] | [V/m] | | [A/m] | |
| 1 | 2 | 3 | 4 | 5 | 6 | 7 | 8 | 9 | 10 | 11 |
| 162 | 54.20444 | 16.22472 | PKP; poziom terenu wokół stacji bazowe | 2,0 | 0,8 ^{N)} | 1,4 | 1,4 | 0,05 | 0,004 | 0,05 |
| 163 | 54.20444 | 16.22445 | PKP; poziom terenu wokół stacji bazowe | 2,0 | 0,8 ^{N)} | 1,4 | 1,4 | 0,05 | 0,004 | 0,05 |
| 164 | 54.20458 | 16.22417 | PKP; poziom terenu wokół stacji bazowe | 2,0 | 0,8 ^{N)} | 1,4 | 1,4 | 0,05 | 0,004 | 0,05 |
| 165 | 54.20472 | 16.22403 | PKP; poziom terenu wokół stacji bazowe | 2,0 | 0,8 ^{N)} | 1,4 | 1,4 | 0,05 | 0,004 | 0,05 |
| 166 | 54.20486 | 16.22389 | PKP; poziom terenu wokół stacji bazowe | 2,0 | 0,8 ^{N)} | 1,4 | 1,4 | 0,05 | 0,004 | 0,05 |
| 167 | 54.20389 | 16.22597 | PKP; poziom terenu wokół stacji bazowej-1m od ogrodzenia | 2,0 | 0,9 ^{N)} | 1,4 | 1,4 | 0,05 | 0,004 | 0,05 |
| 168 | 54.20403 | 16.22583 | PKP; poziom terenu wokół stacji bazowej | 2,0 | 0,9 ^{N)} | 1,4 | 1,4 | 0,05 | 0,004 | 0,05 |
| 169 | 54.20417 | 16.22583 | PKP; poziom terenu wokół stacji bazowej | 2,0 | 1,0 | 1,4 | 1,4 | 0,05 | 0,004 | 0,05 |
| 170 | 54.20431 | 16.22569 | PKP; poziom terenu wokół stacji bazowej | 2,0 | 1,0 | 1,4 | 1,4 | 0,05 | 0,004 | 0,05 |
| 171 | 54.20458 | 16.22556 | PKP; poziom terenu wokół stacji bazowej | 2,0 | 1,0 | 1,4 | 1,4 | 0,05 | 0,004 | 0,05 |
| 172 | 54.20472 | 16.22542 | PKP; poziom terenu wokół stacji bazowej | 2,0 | 0,9 ^{N)} | 1,4 | 1,4 | 0,05 | 0,004 | 0,05 |
| 173 | 54.20486 | 16.22542 | PKP; poziom terenu wokół stacji bazowej | 2,0 | 0,9 ^{N)} | 1,4 | 1,4 | 0,05 | 0,004 | 0,05 |
| 174 | 54.205 | 16.22528 | PKP; poziom terenu wokół stacji bazowej | 2,0 | 0,8 ^{N)} | 1,4 | 1,4 | 0,05 | 0,004 | 0,05 |
| 175 | 54.20528 | 16.22514 | PKP; poziom terenu wokół stacji bazowej | 2,0 | 0,8 ^{N)} | 1,4 | 1,4 | 0,05 | 0,004 | 0,05 |
| 176 | 54.20528 | 16.22514 | PKP; poziom terenu wokół stacji bazowej | 2,0 | 0,8 ^{N)} | 1,4 | 1,4 | 0,05 | 0,004 | 0,05 |

*) Za wynik pomiaru przyjmuje się wartość wyznaczoną jako iloczyn maksymalnej chwilowej wartości zmierzonej i poprawki pomiarowej, powiększoną o rozszerzoną niepewność pomiaru U dla współczynnika rozszerzenia k=2

N) Wartość zmierzona spoza zakresu akredytacji. Do uzyskania wyniku badania interpoluje się wartość zmierzoną do wartości dolnej granicy zakresu pomiarowego metody. Wartość tą wykorzystuje się do wyliczenia wyniku pomiaru i do stwierdzenia zgodności.

Objaśnienia:

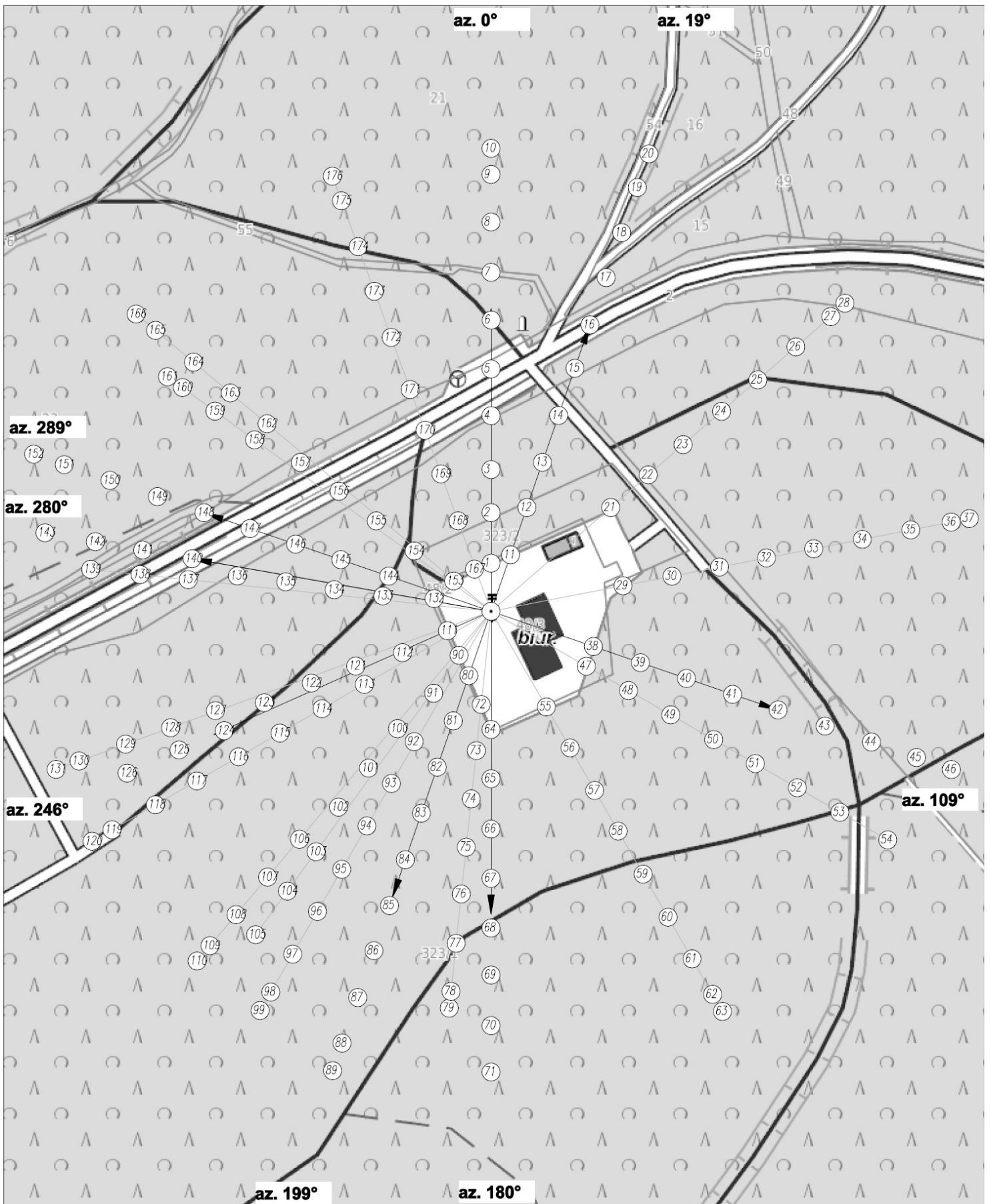
PKP – Pomocniczy Kierunek Pomiarowy

Wyniki pomiarów odnoszą się wyłącznie do przedstawionych w sprawozdaniu punktów / pionów pomiarowych.

Dane podane przez klienta wpływają na ważność wyników.

W obowiązkowym obszarze pomiarowym zainstalowane są urządzenia obcych operatorów, które pracowały przy aktualnie występującym obciążeniu i które mają wpływ na przedstawione wyniki badań.

Na podstawie art. 122a ust. 1b ustawy z dnia 27 kwietnia 2001 r. - Prawo ochrony środowiska (Dz. U. 2021 poz. 1973 z zm.), nie przeprowadza się pomiarów pól elektromagnetycznych w lokalach mieszkalnych oraz w lokalach użytkowych zlokalizowanych na terytorium objętym stanem nadzwyczajnym, stanem zagrożenia epidemicznego lub stanem epidemii.



LEGENDA:

- (Nr) - Punkty (piony) pomiarowe
- - Lokalizacja źródła pola-EM

| | | |
|--|--|---|
| Obiekt: RTON KOSZALIN G. CHE?MSKA Nazwa rysunku: Rozmieszczenie pionów pomiarowych Nr sprawozdania: 167/2022/OS/13 | | Skala 1:2000 |
| LABORATORIUM BADAWCZE SOLDI ul. Bieżanowska 22, 30-812 Kraków | | Opracował: Laboratorium Badawcze Soldi Nr rysunku 01 |

7. Podsumowanie wyników badania

Minimalne dopuszczalne poziomy elektromagnetycznego promieniowania niejonizującego charakteryzowane przez wartości graniczne wielkości fizycznych dla miejsc dostępnych dla ludności, uwzględniające wszystkie źródła promieniowania mogące występować w obszarze pomiarowym, w zakresie pomiarowym zestawu pomiarowego, opisanego w punkcie 2 niniejszego sprawozdania, zgodnie z *Rozporządzeniem Ministra Zdrowia z dnia 17 grudnia 2019 r. w sprawie dopuszczalnych poziomów pól elektromagnetycznych w środowisku* [Dz. U. 2019, poz. 2448], które zostały przyjęte do obliczeń wskaźników W_{ME} i W_{MH} wynoszą odpowiednio:

Tabela nr 7

| Zakres częstotliwości | Natężenie pola - E | Natężenie pola - H |
|-----------------------|--------------------|--------------------|
| 10 MHz – 300 GHz | 28 V/m | 0,073 A/m |

W wyniku przeprowadzonych badań potwierdzono, że otrzymane wartości wskaźnikowe dla wszystkich punktów / pionów pomiarowych badanej instalacji radiokomunikacyjnej, nie przekroczyły wartości 1. Zatem poziomy pól elektromagnetycznych w badanych punktach są dopuszczalne.

Stwierdzenie zgodności zostało przedstawione na podstawie wyników badań oraz informacji uzyskanych od klienta (za które Laboratorium nie ponosi odpowiedzialności) dla instalacji opisanej w punkcie 5.

Stwierdzenia zgodności dokonano na podstawie zasady podejmowania decyzji i wymagań zawartych w załączniku do *Rozporządzenia Ministra Klimatu z dnia 17 lutego 2020 r. w sprawie sposobów sprawdzania dotrzymania dopuszczalnych poziomów pól elektromagnetycznych w środowisku* [Dz. U. 2020, poz. 258].

8. Dokumentacja fotograficzna

Widok obiektu wraz z zainstalowanym zespołem antenowym



Tabela nr 8

| Badania wykonał: | Sprawozdanie sporządził: | Sprawdził/Autoryzował: |
|------------------|--------------------------|--|
| Paweł Wawrzak | Dawid Sienkiewicz | 15.06.2022 r. SOLDI Dorota Lach Specjalista ds. Ochrony Środowiska <i>led</i> |

KONIEC SPRAWOZDANIA